

# ANİZOTROPIK ORTAMLARDA T PROFİL METODU ILE DİFRAKSİYON NOKTASININ BULUNMASI

## A Method of Finding the Diffraction Point in Anisotropic Media

Turan KAYIRAN\*

### ÖZET

Sismik defleksiyonda difraksiyonun önemi çeşitli araştırmacılar tarafından daha önce vurgulanmıştır. Çok sayıda örnek içinden difraksiyonun fay ve sürekli ilgisini inceleyen Krey (1952) ve Haagedorn'ü (1954) gösterebiliriz. Ayrıca difraksiyon noktasının yatımlı ve sabit hızlı ortamlarda, yüzey ölçümlerinden hareket ederek, nasıl bulunabileceğini analitik olarak veren Hubral'dan (1975) söz edilebilir.

Bu çalışmada ortamın anizotrop olması halinde difraksiyon noktasının bulunması konusuna eğileceğiz. Ortam eliptik anizotrop alınacak ve üç boyutta çözüme gidilecek, ayrıca sentetik bir örnekte verilecektir.

### ABSTRACT

The importance of diffractions in seismic reflection has been emphasized by various authors. Relation of diffraction with faults and geological discontinuities has been studied by Krey (1952) and Haagedorn (1954). In addition, Hubral (1975) who analysed two dimensional situation and proposed a solution to the problem of locating a point diffractor below plane layer of constant velocity and varying dip may be mentioned.

In this paper we discuss the problem of localizing the diffraction point when the media is elliptically anisotropic. A synthetic example is also given.

### TEMEL BİLGİ VE KABULLER

$\beta$  eğimli bir yüzey altında anizotropik özellik gösteren bir ortam olsun (Şekil 1). Ortam içerisinde bir O difraksiyon noktası kabul edelim. Ortamındaki hız dağılımını veren hız elipsoidinin dönme ekseni; ortamı yanal izotrop (eliptik anizotrop) aldığıma göre, en uygun kabul olarak; tabaka alt sınır düzlemine dik varsayılacaktır. Bu düzlem herhangi bir eğimde olabilir. Biz problemi yatay-düsey koordinat sisteminde ele alacağız ve dolayısıyla elipsin dönme ekseni düşey olacaktır. Bu çözümden eğik taban düzlemine bir koordinat dönüşümü ile kolayca geçilebileceğinden genellemeye bir değişiklik yoktur.

Bilindiği gibi ortamın homojen olması halinde difraksiyon noktası zaman-uzaklık eğrisinin minimum olduğu noktada profile dik doğrultudadır. Ortamın anizotrop olması halinde ise hiperboloidin minimum olduğu noktaya göre bir kayma söz konusudur. Yalnız ekvator

düzlemine paralel doğrultudaki kayıtlarda bu kayma yoktur. Bu özelliği ileride göstereceğiz ve çözümde ondan yararlanacağız.

Ortamın eliptik anizotrop özelliğini bilinmekte, fakat hız dağılımı bilinmemektedir. Hız elipsoidinin iki asal eksen boyunca değerleri iki profil kaydından bulunabilir. Bu kayıtları sıfır ofset ve tek zamana indirgenmiş zaman-uzaklık grafikleri gibi ele alacağız. Gelişigüzel bir Ax profilinde gözlenen (Şekil 2) difraksiyon hiperbolü, en büyük eğim doğrultusunda  $A_1y$  ve ona dik doğrultuda EL üzerinde de kaydedilmiştir.

### HİZ ELİPSOIDİNİN BELİRLENMESİ

Hız elipsoidinin belirlenmesi için zaman-uzaklık bağıntısından yararlanacağız. Şekil 3'teki O difraksiyon noktası ile Ax profilini içeren düzlemi göz önüne alalım. Ax boyunca kaydedilen hiperbole ait hız elipsi bu düzlem üzerindedir. OC ve OD'ye bağlı koordinatları c ve

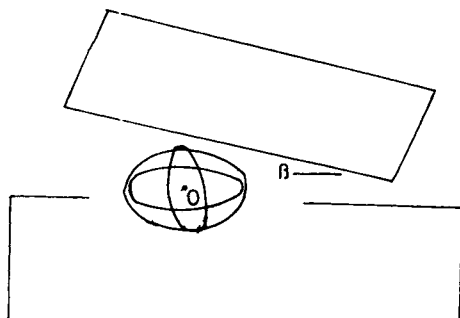
\* Ankara Üniversitesi Fen Fakültesi, Jeoloji Müh. Bölümü, 06100, Beşevler, ANKARA

$d$  ile gösterelim.  $OC$  ve  $OD$  doğrultusundaki hızlarda  $V_c$  ve  $V_d$  olsun. Zaman denklemi

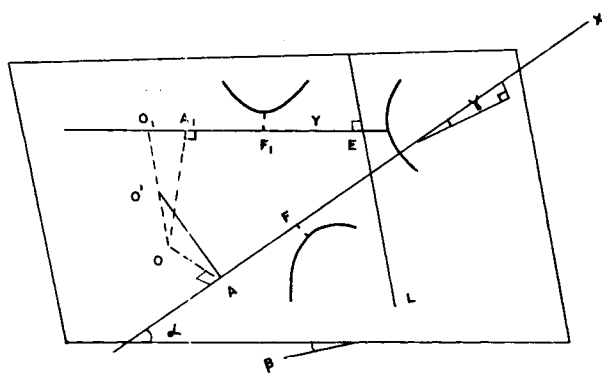
$$(c^2/V_c^2) + (d^2/V_d^2) = t^2 \quad (1)$$

olacaktır, Cressman (1968).

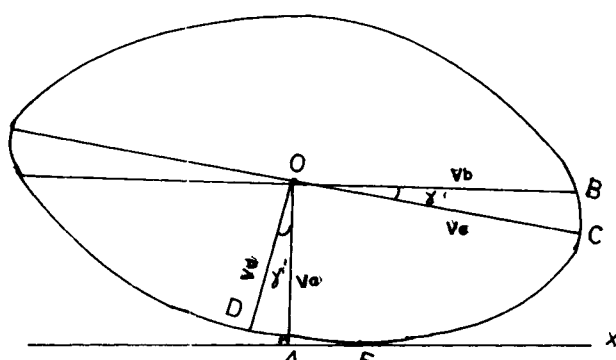
Bu denklemi  $Ax$ 'e dik ve paralel bir eksen sistemine taşımak için, iki sistem arasındaki açı  $\gamma'$  olduğuna göre (Şekil 3)



Şekil 1. Anizotropik ortamin konumu  
Fig. 1. The situation of anisotropic media



Şekil 2. Ax, A, y ve E1 profillerinin yüzeyel konumu  
Fig. 2. The situation map of the profiles Ax, A,y and E1)



Şekil 3. Ax profil doğrusu ile 0 difraksiyon noktasını içeren düzlemdeki hız elipsi  
Fig. 3. Ellips of velocity distribution on the plan containing Ax and 0 diffraction point)

$$\begin{vmatrix} \sin \gamma' & \cos \gamma' \\ \cos \gamma' & \sin \gamma' \end{vmatrix}$$

dönüşüm matrisini kullanmak gereklidir.

$e = OA$ ;  $x_c = AF$  ve  $F$  noktasına göre  $Ax$  üzerindeki apsis  $x$  ile gösterilirse

$$\begin{vmatrix} c \\ d \end{vmatrix} = \begin{vmatrix} \sin \gamma' & \cos \gamma' \\ -\cos \gamma' & \sin \gamma' \end{vmatrix} \begin{vmatrix} e \\ x + x_c \end{vmatrix} \quad (2)$$

yazılabilir.

$O$  uzunluğunu  $e$  ile; elipsin  $x$  eksenine teğet olduğu nokta  $F$  ise  $AF$  uzunluğunu  $x_c$  ile göstermişlik. Difraksiyon noktası  $O$ 'nun bulunması  $e$  ve  $x_c$  uzunluklarının bulunmasına bağlı olduğu için  $e$  ve  $x_c$ 'yi bulmamız gerekecektir. Bunun için (2)'den elde edilen  $c$  ve  $d$ 'yi (1)'e taşırsak,

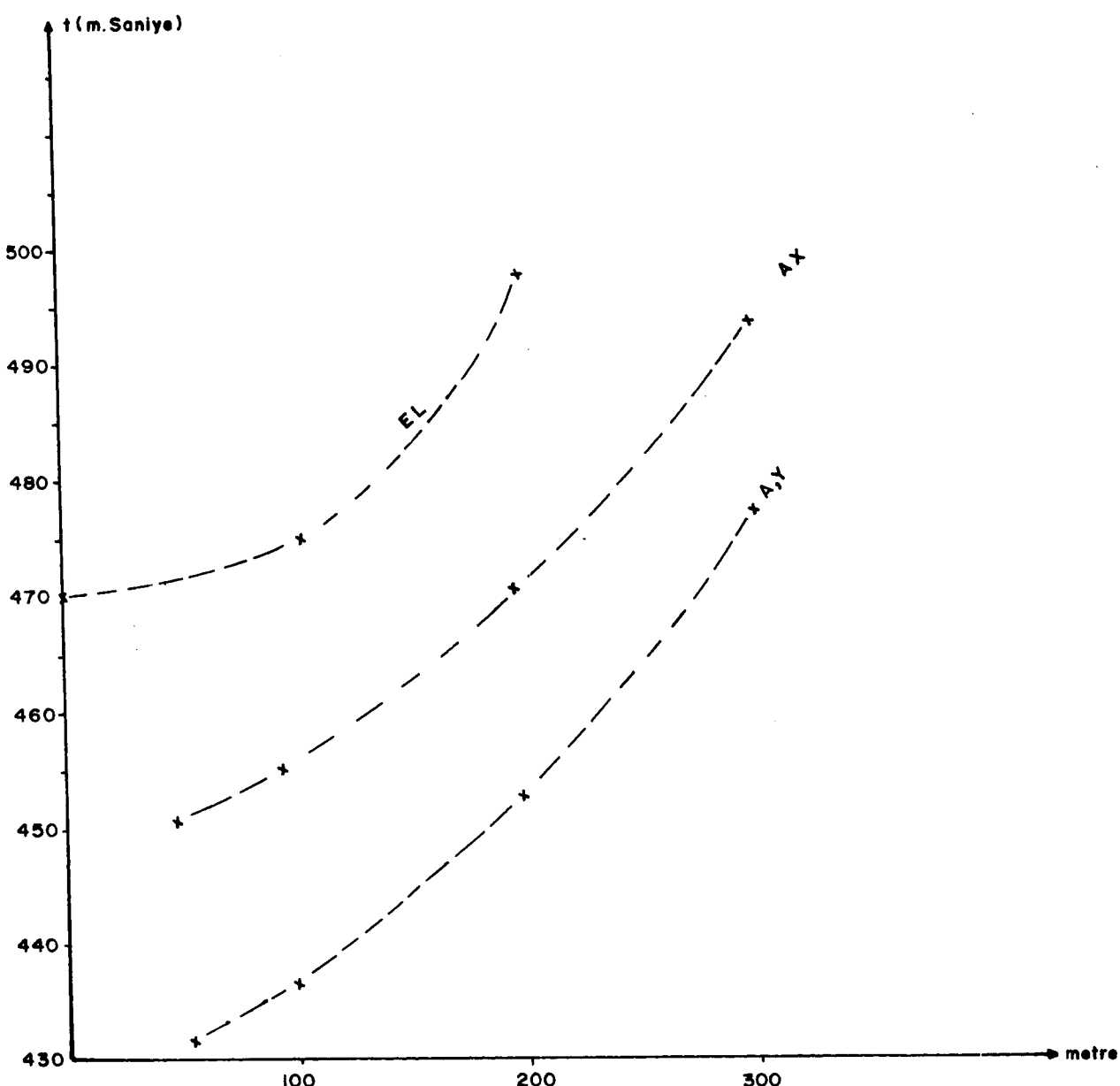
$$\begin{aligned} t^2 &= \frac{[e \sin \gamma' + (x + x_c) \cos \gamma']^2}{V_c^2} \\ &\quad + \frac{[-e \cos \gamma' + (x + x_c) \sin \gamma']^2}{V_d^2} \\ &= (x + x_c)^2 \left[ \frac{\cos^2 \gamma'}{V_c^2} + \frac{\sin^2 \gamma'}{V_d^2} \right] + e^2 \left[ \frac{\sin^2 \gamma'}{V_c^2} + \frac{\cos^2 \gamma'}{V_d^2} \right] \\ &\quad + \frac{2e(x + x_c) \sin \gamma' \cos \gamma'}{V_c^2} - \frac{2e(x + x_c) \sin \gamma' \cos \gamma'}{V_d^2} \end{aligned}$$

yazılabilir. Diğer taraftan Şekil 3'teki hız elipsinde  $V_a$  ve  $V_b$  hızları elipsin asal eksenleri doğrultusundaki  $V_c$  ve  $V_d$  hızları cinsinden,

$$\begin{aligned} \frac{1}{V_a^2} &= \frac{\cos^2 \gamma'}{V_d^2} = \frac{\sin^2 \gamma'}{V_c^2} \\ \frac{1}{V_b^2} &= \frac{\cos^2 \gamma'}{V_c^2} - \frac{\sin^2 \gamma'}{V_d^2} \end{aligned} \quad (4)$$

yazılabilir (Gassman 1964, Daley ve Hron 1979). (4)'ü kullanarak (3) denklemi,

$$\begin{aligned} t^2 &= \frac{(x + x_c)^2}{V_b^2} + \frac{e^2}{V_a^2} \\ &\quad + 2e(x + x_c) \sin \gamma' \cos \gamma' \left( \frac{1}{V_c^2} - \frac{1}{V_d^2} \right) \end{aligned} \quad (5)$$



Şekil 4. E1, Ax, A ve y profilleri üzerindeki diffraksiyon eğrileri  
Fig. 4. Diffraction curves on E1, Ax, A and y profiles

şeklinde ifade edebiliriz. F noktası hipabolün minimum değerine karşılık geldiğine göre  $AF = x_c$  uzunluğunu formüle etmeye çalışalım. Bunun için (5)'te her iki yanın differansiyelini alıp,  $x = 0$  koyarsak,

$$2t \frac{dt}{dx} = \frac{2x_c dx}{V_b^2} + 2e \sin \gamma' \cos \gamma' \left( \frac{1}{V_c^2} - \frac{1}{V_d^2} \right) dt \text{ dir.}$$

$$\frac{dt}{dx} = \left[ \frac{x_c}{V_b^2} + e \sin \gamma' \cos \gamma' \left( \frac{1}{V_c^2} - \frac{1}{V_d^2} \right) \right] / t = 0$$

şartından,

$$x_c = e V_b \sin \gamma' \cos \gamma' \left( \frac{1}{V_d^2} - \frac{1}{V_c^2} \right) \quad (6)$$

elde edilir. Bu ifade Gassman'ın (1964) verdiği formüle benzer. Ancak farklı olarak problem üç boyutta ele alınmıştır,  $V_d$  hızı elipsoidin asal eksenine karşılık gelen hız olmayıp eğik bir düzlem üzerindeki hız elipsine ait olmaktadır.

Diğer taraftan, Ax'in yatayla yaptığı açı  $\gamma$  ile gösterirsek (Şekil 2); eğik düzlemdeki yatayla Ax'in veya Ax'e paralel OB'in yatayla yaptığı açı  $\gamma'$ ;  $\gamma$  ve eğik düzlemin yatayla yaptığı açı  $\theta$ 'ya,

$$\operatorname{tg} \gamma / \operatorname{Sin} \theta = \operatorname{tg} \gamma' \quad (7)$$

gibi bir bağıntıyla bağlıdır. Bu bağıntı Şekil (2) ve (3)'ün incelenmesinden görülebilir.  $\gamma$  değeri  $\alpha$  ve  $\beta$  bilindiğine göre,  $\operatorname{Sin} \gamma = \operatorname{Sin} \beta \operatorname{Cos} \alpha$  bağıntısından bulunabilir. Burada  $\beta$  en büyük eğim açısı,  $\alpha$  ise  $Ax$ 'in en büyük eğim doğrultusu ile yaptığı açıdır. (7)'de difraksiyon noktası ve dolayısıyla  $\theta$  bilinmediği için  $\gamma$ 'nü bulmak olanaksızdır. O halde difraksiyon noktasından geçen bir dik düzleme ulaşmak gerekecektir. Hiperbolün minimum noktasındaki  $t_f$  zaman değeri (5)'te  $x = 0$  koyarsak

$$t_f^2 = \frac{x_c^2}{V_b^2} + \frac{e^2}{V_a^2} + 2ex_c \operatorname{Sin} \gamma' \operatorname{Cos} \gamma' \left( \frac{1}{V_c^2} - \frac{1}{V_d^2} \right) \quad (8)$$

yazılabilir. Diğer taraftan (6)'daki  $x_c$  değerini (8)'e taşırsak,

$$2e \operatorname{Sin} \gamma' \operatorname{Cos} \gamma' \left[ \frac{1}{V_c^2} - \frac{1}{V_d^2} \right] = - \frac{2x_c}{V_b^2} \quad (9)$$

olduğu göz önünde tutularak,

$$t_f^2 = \frac{e^2}{V_a^2} - \frac{x_c^2}{V_b^2} \quad (10)$$

olarak gösterilebilir. (5) denklemini (10)'dan yararlanarak daha sade bir şekilde ifade etmek için, (5)'e  $\frac{x_c^2}{V_b^2}$ -'yi bir defa ekleyip bir defada çıkararak ve (6) ve (10)'u kullanarak

$$\begin{aligned} t^2 &= \frac{(x+x_c)^2}{V_b^2} + \frac{e^2}{V_a^2} - \frac{x_c^2}{V_b^2} + \frac{x_c^2}{V_b^2} = \frac{2x_c(x+x_c)}{V_b^2} \\ &= \frac{(x+x_c)^2}{V_b^2} + \frac{x_c^2}{V_b^2} - \frac{2(x+x_c)x_c}{V_b^2} + t_f^2 - t_f^2 + \frac{x^2}{V_b^2} \end{aligned} \quad (11)$$

elde edilir.

Bu sonuç Gassmann (1964)'in verdiği ifadenin üç boyutta karşılığıdır. (11) hiperbol denkleminin eğik asimtotlarının,

$$t = \pm \frac{x}{V_b} \quad (12)$$

olduğu görülür. Hiperbolün herhangi bir  $x$  noktasında  $t$  ve  $x$  bilindiğine göre  $V_b$  değeri bulunabilir, yani  $Ax$ 'e paralel doğrultudaki hız bulunabilir. Daha önce hız elipsoidinin dönme ekseninin taban düzlemine dik olduğunu kabul etmiştık. Bu en olası varsayımdır. Elipsoidi tanımlamak için ikinci bir hız bilgisine gerek vardır. Bu açıdan bakıldığından (15) formülü, yatay düzlemdeki  $V_c$  hızının

yatay doğrultuda kaydedilmiş difraksiyon hiperbolünden elde edilebileceğini göstermektedir. Aynı zamanda (6)'daki  $\gamma'$ ; EL için sıfır olduğundan EL'ye ait  $x_c = 0$ 'dır. Şekil 2'de EL doğrultusunda kaydedilen hiperbol yatay hızı bulmaya ve difraksiyon noktasından geçen düşey bir düzleme saptamaya yardımcı olacaktır.  $V_b$ ;  $V_c$  ve dik düzlemede bu iki doğrultu arasındaki  $\gamma$  açısı bilindiğine göre (4) kullanılarak düşey  $V_Z$  bulunur ve bu suretle hız elipsoidi tayin edilmiş olur.

### DIFRAKSİYON NOKTASININ BULUNMASI

EL doğrusu için  $\gamma' = 0$  olduğundan bu profilde (6)'dan  $x_c = 0$  olduğu görülür, yani difraksiyon noktası E de EL'e dik düzlemede yer almaktadır. Böyle bir profili A<sub>1</sub> ile gösterirsek (Şekil 2) bu profil üzerindeki veri ile problem iki boyuta indirgenmiş olur. T şeklindeki bu bir çift profil, yöntemin temelini oluşturmaktadır. Şekil 2'de O'OA açısı  $\beta$  olacağından (4) kullanılarak  $V_{a_1}$  hızı bulunabilir. Ax profili için bu olanaksızdır.

$$W = V_{b_1}^2 \operatorname{Sin} \beta \operatorname{Cos} \beta \left( \frac{1}{V_Z^2} - \frac{1}{V_c^2} \right) \quad (13)$$

ve OA<sub>1</sub> = e<sub>1</sub> koyarsak x<sub>c1</sub> = e<sub>1</sub>W yazılabilir. O takdirde

$$t_{f_1}^2 = \frac{e_1^2}{V_{a_1}^2} - \frac{e_1^2 W^2}{V_{b_1}^2} = e_1^2 \left[ \frac{1}{V_{a_1}^2} - \frac{W^2}{V_{b_1}^2} \right] \quad (14)$$

olur. Buradan

$$e_1 = t_{f_1} / \left( \sqrt{\frac{1}{V_{a_1}^2} - \frac{W^2}{V_{b_1}^2}} \right) \quad (15)$$

çıkar.

$t_{f_1}$ ;  $V_{a_1}$ ;  $V_{b_1}$  bilindiğine göre e<sub>1</sub> (15)'ten bulunabilir. x<sub>c1</sub> = e<sub>1</sub>W'den de x<sub>c1</sub> elde edilir. Şekil 2'de F<sub>1</sub>'den itibaren x<sub>c1</sub> uzaklığında A<sub>1</sub>; A<sub>1</sub>'den de A<sub>1</sub>y'ye dik doğrultuda e<sub>1</sub> uzaklığında O difraksiyon noktasına varılmış olur.

### SAYISAL UYGULAMA

Şekil (2) ve (3)'e uygun olarak düzenlenmiş model aşağıdaki parametreleri içermektedir:

$$\alpha = 30^\circ; \beta = 10^\circ; V_c = 1500 \text{ m/s}; OO' = 521 \text{ m.};$$

$$OA = 550 \text{ m}; EG = 200 \text{ m}; AG = 300 \text{ m.};$$

$$V_Z \text{ (dönme ekseni doğrultusunda)} = 1175 \text{ m/s.}$$

Bu model Şekil 4'deki difraksiyon hiperbollerini vermektedir. (12)'yi kullanarak bu hiperbollerden V<sub>c</sub> ve V<sub>b</sub> hızları 1500 m/s ve 1200 m/s olarak elde edilir.

(4)'ten  $V_z = 1174$  m/s bulunur. E de EL'e dik düzlem O noktasını içereceğinden  $A_1y$  üzerindeki hiperbolden  $V_{a_1}$ ;  $V_{b_1}$  hesaplanır. (6) kullanılarak  $x_{c_1}$  bulunur. Ve nihayet (15) formülü  $A_1y$ 'ye uygulanarak  $e_1$  elde edilir. Sonuçlar aşağıdaki gibidir.

$$V_{b_1} = 1486 \text{ m/s}; \quad x_{c_1} = 54 \text{ m.}; \quad A_1O = 512 \text{ m.};$$

$$AO = 550.8 \text{ m.}; \quad x_c = 49.8 \text{ m.}; \quad OO' = 521 \text{ m.}$$

Göründüğü gibi modele çok yakın değerler elde edilmektedir.

#### KAYNAKLAR

- Cressman, K.S. 1968, How velocity layering and steep dip affect C.D.P., Geophysics 33, 399-411.  
 Daley and Hron, F. 1979, Reflection and transmission coefficients for seismic waves in ellipsoidally anisotropic media, Geophysics 44, 27-38.  
 Gassman, F. 1964, Introduction to seismic travel time methods in anisotropic media, Pure and Applied Geophysics 58, 53-112.  
 Haagedorn, J.G. 1954, A process of seismic reflection interpretation: Geophysical Prospecting 2, 85-127.  
 Hubral, P. 1975, Locating a diffractor below plane layers of constant interval velocity and varying dip, Geophysical Prospecting 23, 313-322.  
 Krey, T. 1952, The significance of diffractions in the investigation of faults, Geophysics 17, 843-858.  
 Levin, F.K. 1978, The reflection, refraction, and diffraction of waves in media with a elliptical velocity dependence, Geophysics 43, 528-537.